

ZAGADNIENIA MECHANIKI PĘKANIA

Redukcja wytrzymałości materiału w stosunku do wytrzymałości teoretycznej wynika z defektów geometrycznych i materiałowych:

defekty 1. rodzaju – geometryczne, niezwiązane ze strukturą materiału – ostre szczeliny, wycięcia (karby) o dowolnym kształcie,

defekty 2. rodzaju – niejednorodność wewnętrznej budowy materiału – dyslokacje, pustki na granicy cząstek materialnych (ziaren), wtrącenia obcego materiału (np. węgiel w metalach).

Defekty 1. rodzaju – makroskopowe – wymagają analizy wychodzącej poza zakres Teorii Sprężystości kontinuum – rozwiązania te w punktach nieciągłości (np. promień krzywizny wycięcia zmierzający do zera) skutkują nieskończonymi naprężeniami przy dowolnym obciążeniu. Rozwój mechaniki zniszczenia układów z makroskopowymi defektami geometrycznymi (mechaniki pękania) – od lat 20-tych XX w., początkowa wiedza intuicyjna – np. przy danym obciążeniu obecna w układzie szczelina nie może przekroczyć pewnej długości krytycznej, prowadzącej do zniszczenia.

Początek analizy ciał z defektami makroskopowymi – Charles Inglis (1913)
<https://pl.scribd.com/doc/301198950/1913-Inglis-Stress-in-a-Plate-Due-to-the-Presence-of-Cracks-and-Sharp-Corners-0>

przypadek pasma rozciąganego, osłabionego eliptycznym otworem

Przy $b \neq 0$ maksymalne naprężenia, na brzegach otworu ($|x|=l$), równe są

$$\sigma_{y,\max} = \sigma_y \Big|_{x=l} = \sigma \left(1 + 2 \frac{l}{b} \right).$$

Przypadki szczególne:

$b \rightarrow 0$ - **szczelina o nieskończenie**
małej grubości, $x \in \langle -l, l \rangle$ jest

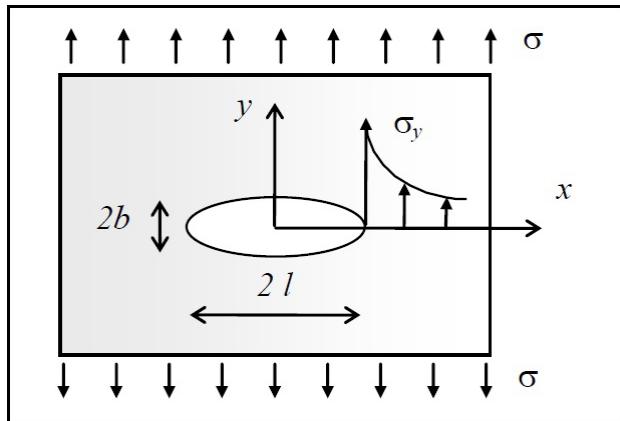
obszarem nieciągłości przemieszczeń
pionowych v - zachodzi

$v^+ = v \Big|_{y=0+dy} \neq v^- = v \Big|_{y=0-dy}$, naprężenia

σ_y dążą do nieskończoności,

$b = l$ - **otwór kołowy** – naprężenia na brzegu $\sigma_y = 3\sigma$ - rozwiązanie

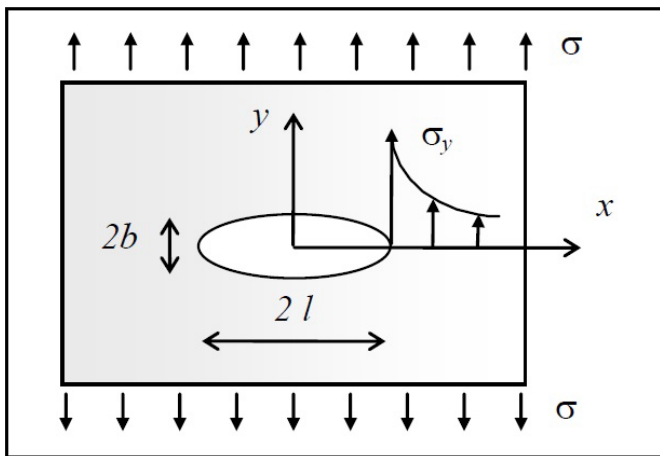
rozciąganey jednoosiowo tarczy z otworem kołowym (Ernst Gustav Hirsch,
1898, <http://www.fracturemechanics.org/fm/hole.html>)



Ch. Inglis (1913), przypadek szczeliny ($b = 0$) naprężenia σ_y i przemieszczenie pionowe v w płaszczyźnie szczeliny - na zewnątrz i w jej obrębie:

$$|x| \geq l \Rightarrow \sigma_y = \frac{\sigma}{\sqrt{\left(\frac{x}{l}\right)^2 - 1}} \left[\frac{1}{2\left(\frac{x}{l}\right)^2 + \sqrt{\left(\frac{x}{l}\right)^2 - 1}} \right], \quad v = 0$$

$$|x| < l \Rightarrow \sigma_y = 0, \quad v = \frac{2\sigma}{E}(l^2 - x^2) \quad (\text{PSN}), \quad v = \frac{2\sigma(1-\nu^2)}{E}(l^2 - x^2) \quad (\text{PSO})$$



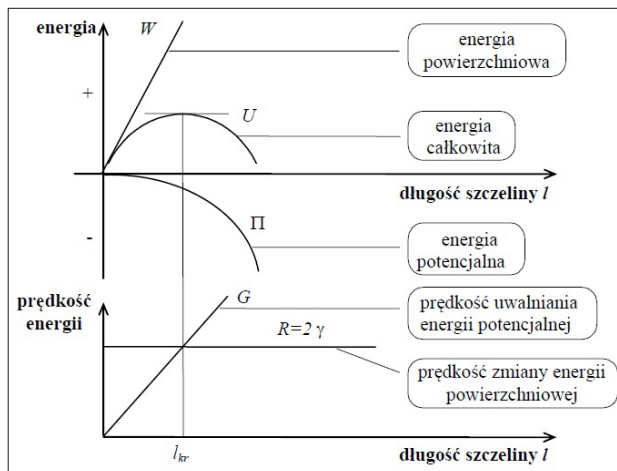
Alan Arnold Griffith (1893-1963) – pionier współczesnej mechaniki pęknięcia
 “The phenomena of rupture and flow in solids”, Phil. Transact. of the Royal Society (1921)
 podstawa – bilans energetyczny:

* **praca związana z rozwarciem szczeliny** (ujemny przyrost energii potencjalnej) Π wynosi (zastosowanie wzoru Inglisa przy $x \in \langle -l, l \rangle$, mnożnik równy 2 – dwa brzozy szczeliny, mnożnik równy 0.5 - sprężystość)

$$\Pi = 2 \left(-\frac{1}{2} \sigma \int_{-l}^l v dx \right) = -\frac{\pi l^2 \sigma^2}{E} \quad (\text{PSN})$$

$$\text{lub } \Pi = -(1 - \nu^2) \frac{\pi l^2 \sigma^2}{E} \quad (\text{PSO})$$

* **praca W potrzebna do utworzenia się wewnątrz ciała swobodnej powierzchni** (o wymiarze długości równym $4l$): $W = 4l\gamma$, gdzie γ jest energią utworzenia jednostki (długości) swobodnej powierzchni.



Bilans energii W i Π , energia całkowita $U = W + \Pi$, w funkcji wymiaru l .

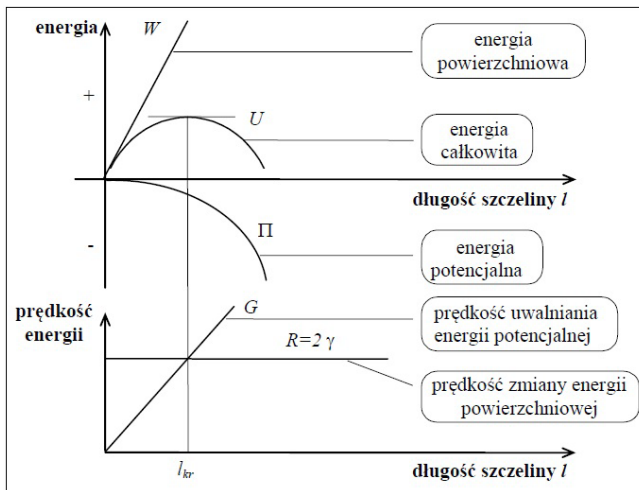
Funkcja $U(l)$ osiąga maksimum w punkcie $l = l_{kr}$, w którym

$$\left. \frac{dU}{dl} \right|_{l=l_{kr}} = 0 \Leftrightarrow \left. \frac{dW}{dl} \right|_{l=l_{kr}} = - \left. \frac{d\Pi}{dl} \right|_{l=l_{kr}}$$

co w rezultacie daje

$$\frac{2\pi l_{kr} \sigma^2}{E} = 4\gamma \quad (\text{PSN})$$

$$\text{lub } (1 - \nu^2) \frac{2\pi l_{kr} \sigma^2}{E} = 4\gamma \quad (\text{PSO}).$$



Wprowadzamy wielkość K_c , równą odpowiednio $K_c = \sqrt{2E\gamma}$ (PSN) lub

$K_c = \sqrt{\frac{2E\gamma}{1-\nu^2}}$ (PSO). Tym samym warunek krytyczny – rozpoczęcia pęknięcia

(propagacji szczeliny) w obu przypadkach ma postać $\sigma\sqrt{\pi l} = K_c$.

Wielkość K_c to tzw. odporność materiału na pęknięcie (fracture toughness) - krytyczna wartość **współczynnika intensywności naprężeń** (stress intensity factor) K o jednostce $[kN m^{-1.5}]$.

Warunek pęknięcia $\sigma\sqrt{\pi l} = K_c$ może być osiągnięty dwoma sposobami:

a) przy danym obciążeniu σ długość szczeliny przekroczy wartość krytyczną

$$l_{kr} = \frac{K_c^2}{\pi\sigma^2} = \begin{cases} \frac{2E\gamma}{\pi\sigma^2} & \text{(PSN)} \\ \frac{2E\gamma}{\pi\sigma^2(1-\nu^2)} & \text{(PSO)} \end{cases}$$

b) przy danym wymiarze szczeliny l obciążenie przekroczy wartość krytyczną

$$\sigma_{kr} = \frac{K_c}{\sqrt{\pi l}} = \begin{cases} \sqrt{\frac{2E\gamma}{\pi l}} & \text{(PSN)} \\ \sqrt{\frac{2E\gamma}{\pi l(1-\nu^2)}} & \text{(PSO)} \end{cases}$$

Teoria Griffitha - po spełnieniu warunku krytycznego następuje zjawisko lawinowe – pęknięcie. Teoria ta ma obecnie znaczenie historyczne, zawiera jednak wszystkie elementy teorii zniszczenia ciał idealnie sprężystych, jest to więc **liniowosprężysta teoria pęknięcia**.

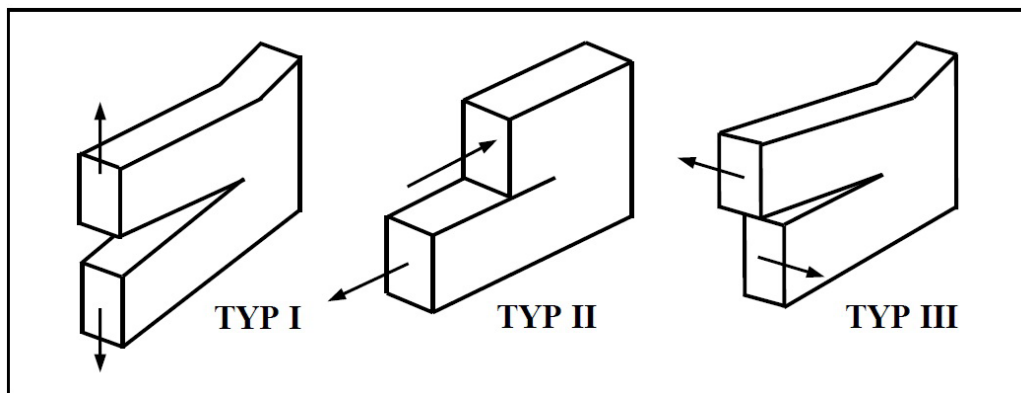
Pomimo osobliwości postaci $x^{-0.5}$ w wierzchołku można zaprojektować bezpieczną szczelinę – określić warunki, aby nie ulegała ona propagacji.

Trzy typy obciążenia szczelin, wyróżniane w mechanice pękania:

Typ I – rozrywanie (opening mode) – rozrywane powierzchnie rozchodzą się w kierunku prostopadłym do frontu szczeliny,

Typ II – podłużne ścinanie (sliding mode) – powierzchnie szczeliny ślizgają się w kierunku prostopadłym do frontu szczeliny,

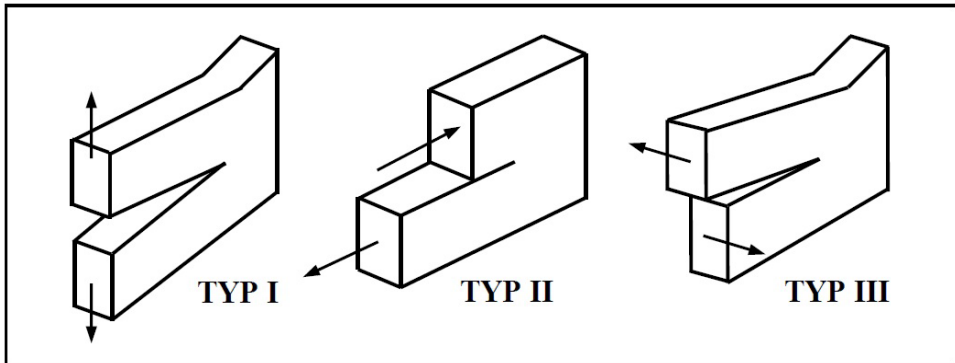
Typ III – poprzeczne ścinanie (tearing mode) – powierzchnie szczeliny przesuwają się w kierunku równoległym do frontu szczeliny.



Każdemu z typów obciążenia szczeliny odpowiada rozkład

naprężeń (pole tensorowe) w postaci $\sigma_{ij}^T = \frac{K_T}{\sqrt{2\pi r}} f_{ij}^T(\theta)$,

gdzie r i θ są współrzędnymi biegunowymi układu o początku w wierzchołku szczeliny, $T = I, II, III$ określa typ obciążenia szczeliny, $K_T \in \{K_I, K_{II}, K_{III}\}$ jest współczynnikiem intensywności naprężeń danego typu obciążenia szczeliny, f_{ij}^T - funkcją tensorową współrzędnej θ , zależną od typu obciążenia szczeliny.



Wyznaczanie pól naprężeń, przemieszczeń i odkształceń wokół wierzchołka szczeliny (nieciągłość funkcji przemieszczeń) – zagadnienie trudne, wymagające zaawansowanych matematycznych metod. Możliwe podejście – **wykorzystanie zmiennych zespolonych**: N. Muscheliszwili (1933) i H.M. Westergaard (1939).

Do obliczeń przyjmowana jest analityczna funkcja φ zmiennej zespolonej $z = x_1 + ix_2$, $i = \sqrt{-1}$, analityczne są również funkcje:

$$\varphi'(z) = \frac{d\varphi}{dz}, \quad \varphi''(z) = \frac{d\varphi'}{dz}, \quad \bar{\varphi}(z) = \int \varphi(z) dz, \quad \overline{\bar{\varphi}}(z) = \int \overline{\bar{\varphi}}(z) dz$$

Ogólna postać funkcji naprężeń Airy: $F = \operatorname{Re} \overline{\bar{\varphi}}(z) + x_2 \operatorname{Im} \bar{\varphi}(z)$.

Obie części: rzeczywista i urojona dowolnej funkcji analitycznej zmiennej zespolonej są funkcjami harmonicznymi (o zerowym laplasjanie), można wykazać, że powyżej określona funkcja F jest biharmoniczna – spełnia równanie Airy.

Znajomość funkcji zespolonej φ danego zagadnienia pozwala na wyznaczenie składowych naprężeń:

$$\begin{cases} \sigma_{11} = \operatorname{Re} \varphi(z) - x_2 \operatorname{Im} \varphi'(z) \\ \sigma_{22} = \operatorname{Re} \varphi(z) + x_2 \operatorname{Im} \varphi'(z) \\ \sigma_{12} = -x_2 \operatorname{Re} \varphi'(z) \end{cases}$$

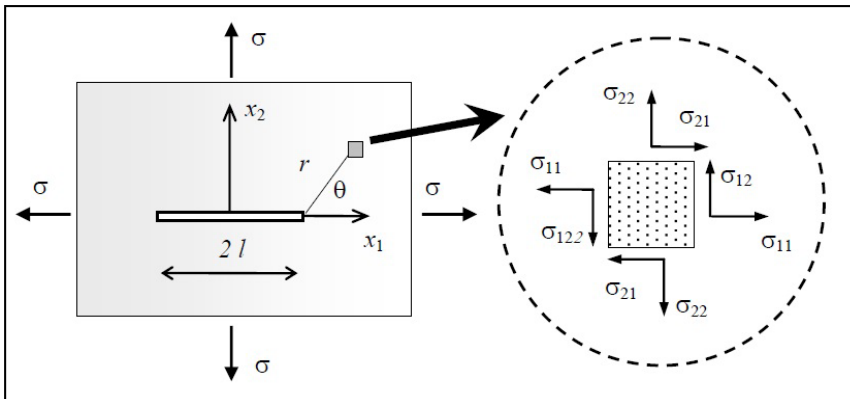
oraz przemieszczeń, dzięki związkom geometrycznym i liniowosprężystemu prawu Hooke'a:

$$\begin{cases} 2Gu_1(x_1, x_2) = \frac{\kappa - 1}{2} \operatorname{Re} \bar{\varphi}(z) - x_2 \operatorname{Im} \varphi(z) \\ 2Gu_2(x_1, x_2) = \frac{\kappa + 1}{2} \operatorname{Im} \bar{\varphi}(z) - x_2 \operatorname{Re} \varphi(z) \end{cases}$$

gdzie $2G = \frac{E}{1 + \nu}$, $\kappa = \frac{3 - \nu}{1 + \nu}$ (PSN) lub $\kappa = 3 - 4\nu$ (PSO)

Rozwiązanie Westergaarda – typ I

szczelina o długości równej $2l$ w nieskończonym paśmie rozciągany dwuosiowo naprężeniem σ - **obciążenie typu I** (rozrywanie)



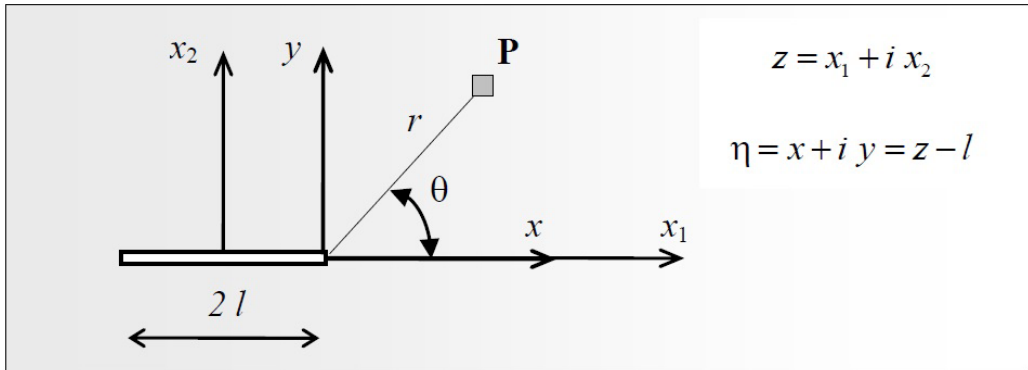
Warunki brzegowe na linii szczeliny ($x_2 = 0$):

- * w obrębie szczeliny ($|x_1| < l$) zachodzi $\sigma_{22} = \sigma_{12} = 0$,
- * przy wierzchołkach szczeliny ($|x_1| \rightarrow l$) jest $\sigma_{22} \gg \sigma$
- * z dala od szczeliny ($|x_1| \rightarrow \infty$) jest $\sigma_{22} \rightarrow \sigma$

Powyższe warunki spełnia funkcja zespolona $\varphi(z) = \sigma \frac{z}{\sqrt{z^2 - l^2}}$.

Przeprowadzona zostaje transformacja układów współrzędnych (x_1, x_2) do postaci (x, y) o początku w wierzchołku szczeliny, tym samym określona jest zmienna zespolona $\eta = x + iy$. Układ biegunowy o początku w wierzchołku szczeliny to (r, θ) , gdzie

$r = \sqrt{x^2 + y^2} = |\eta|$ - moduł η , zaś $\theta = \arctg \frac{y}{x}$ - jej argument



Zmienna η w postaciach: trygonometrycznej i wykładniczej:

$$\eta = |\eta|(\cos \theta + i \sin \theta) = r(\cos \theta + i \sin \theta) = e^{i\theta}$$

Funkcja φ względem zmiennej η : $\varphi(\eta) = \sigma l \left(\frac{\eta}{l} + 1 \right) \left[\eta l \left(\frac{\eta}{l} + 2 \right) \right]^{\frac{1}{2}}$

Makroskopowa szczelina powoduje znaczną koncentrację naprężeń w sąsiedztwie jej wierzchołków, stąd dalsza analiza zostaje ograniczona do tej strefy. W sąsiedztwie wierzchołka szczeliny

($x_1 \rightarrow l, x_2 \rightarrow 0$) zachodzi $\frac{\eta}{l} \rightarrow 0$, zatem $\varphi(\eta) = \sigma \sqrt{\frac{l}{2\eta}} = \frac{K_I}{\sqrt{2\pi\eta}}$,

gdzie współczynnik intensywności naprężeń (stała) $K_I = \sigma \sqrt{\pi l}$.

Przedstawiając w postaci trygonometrycznej funkcje φ , φ' (reguły potęgowania i pierwiastkowania liczb zespolonych w postaci trygonometrycznej) oraz rozwijając wyrażenia: $x_2 \operatorname{Im} \varphi'$ i $x_2 \operatorname{Re} \varphi'$ otrzymuje się rozkład naprężeń – składowych kartezjańskich, w funkcji r i θ :

$$\left\{ \begin{array}{l} \sigma_{11} = \frac{K_I}{\sqrt{2\pi r}} \cos \frac{\theta}{2} \left(1 - \sin \frac{\theta}{2} \sin \frac{3\theta}{2} \right) \\ \sigma_{22} = \frac{K_I}{\sqrt{2\pi r}} \cos \frac{\theta}{2} \left(1 + \sin \frac{\theta}{2} \sin \frac{3\theta}{2} \right) \\ \sigma_{12} = \frac{K_I}{\sqrt{2\pi r}} \sin \frac{\theta}{2} \cos \frac{\theta}{2} \cos \frac{3\theta}{2} \end{array} \right\}, \sigma_{33} = \begin{cases} 0 \text{ (PSN)} \\ \nu(\sigma_{11} + \sigma_{22}) = \\ = \frac{2\nu K_I}{\sqrt{2\pi r}} \cos \frac{\theta}{2} \text{ (PSO)} \end{cases}$$

Pole naprężeń w układzie kartezjańskim można więc zapisać w

jednolitej, wcześniej podanej postaci $\sigma_{ij}^I = \frac{K_I}{\sqrt{2\pi r}} f_{ij}^I(\theta)$

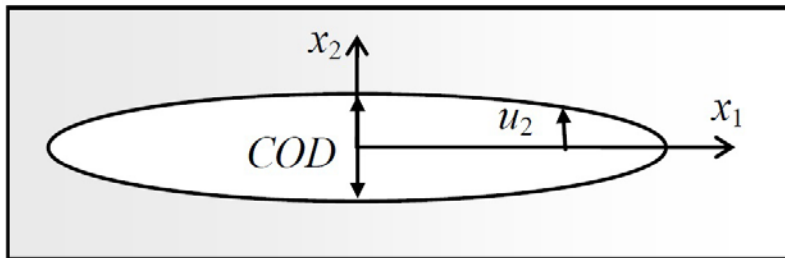
George R. Irwin (1962) – powyższa funkcja opisuje stan naprężenia przy dowolnej szczelinie i dowolnym obciążeniu typu I. Geometrię szczeliny, jej długość oraz sposób przyłożenia obciążenia uwzględnia współczynnik K_I , który tym samym jest nadrzędnym parametrem w opisie naprężeń przy wierzchołku szczeliny.

Stan przemieszczeń w pobliżu wierzchołka szczeliny:

$$u_1 = \frac{K_I}{2G} \sqrt{\frac{r}{2\pi}} \cos \frac{\theta}{2} (\kappa - \cos \theta), \quad u_2 = \frac{K_I}{2G} \sqrt{\frac{r}{2\pi}} \sin \frac{\theta}{2} (\kappa - \cos \theta)$$

Ze względu na kryteria zniszczenia w mechanice pęknięcia ważne jest rozwarcie brzegów szczeliny. Zastosowanie ogólnej postaci funkcji $\varphi(z)$ w początkowej formie, całym obrębie szczeliny, obliczenie $\bar{\varphi}(z)$ daje rezultat - przemieszczenia pionowe na linii szczeliny:

$$u_2(x_1) = c\sigma\sqrt{l^2 - x_1^2}, \text{ gdzie } c = \frac{2}{E} \text{ (PSN) lub } c = \frac{2(1-\nu^2)}{E} \text{ (PSO)}.$$



Maksymalne rozwarcie szczeliny (crack opening displacement – COD), w połowie jej długości ($x_1 = 0$), wynosi $2u_2|_{x_1=0} = 2c\sigma l$.

Kształt rozwartej szczeliny – przekształcenie uprzednio zapisanej funkcji $u_2(x_1)$,

do postaci $\frac{u_2^2}{D^2} + \frac{x_1^2}{l^2} = 1$ -

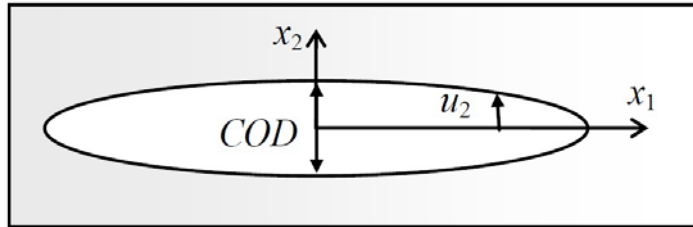
jest to **równanie elipsy**.

W podobny sposób otrzymuje się rozwiązania, w sąsiedztwie wierzchołka szczeliny, w funkcji r i θ :

* obciążenie typu II (ściananie τ w płaszczyźnie Ox_1x_2 prostopadłej do frontu szczeliny): naprężenia $\sigma_{11}, \sigma_{22}, \sigma_{12}$, przemieszczenia u_1, u_2 ,

* obciążenie typu III (ściananie τ w płaszczyźnie Ox_1x_3 frontu szczeliny) – naprężenia: σ_{13}, σ_{23} i przemieszczenia u_3 ,

w obu przypadkach zachodzi $K_{II} = K_{III} = \tau\sqrt{\pi l}$.

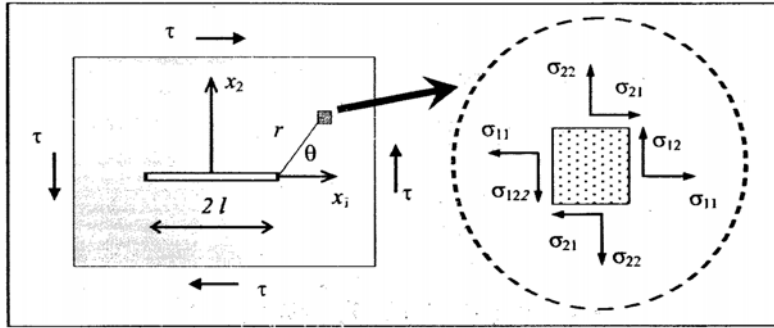


rozwiązanie Westergaarda, typ II - szczelina o długości $2l$ w nieskończonym paśmie ścinanym podłużnie naprężeniem τ - **obciążenie typu II** (ściananie podłużne)

Funkcja naprężeń przyjęta w postaci:

$$\varphi = -i \frac{\tau z}{\sqrt{z^2 - l^2}}$$

Naprężenia w pobliżu wierzchołka szczeliny:



$$\left\{ \begin{array}{l} \sigma_{11} = \frac{K_{II}}{\sqrt{2\pi r}} \sin \frac{\theta}{2} \left(2 + \cos \frac{\theta}{2} \cos \frac{3\theta}{2} \right) \\ \sigma_{22} = \frac{K_{II}}{\sqrt{2\pi r}} \sin \frac{\theta}{2} \cos \frac{\theta}{2} \cos \frac{3\theta}{2} \\ \sigma_{12} = \frac{K_{II}}{\sqrt{2\pi r}} \cos \frac{\theta}{2} \left(1 - \sin \frac{\theta}{2} \sin \frac{3\theta}{2} \right) \end{array} \right. \quad \sigma_{33} = \begin{cases} 0 \text{ (PSN)} \\ \nu(\sigma_{11} + \sigma_{22}) = \\ = -\frac{2\nu K_{II}}{\sqrt{2\pi r}} \sin \frac{\theta}{2} \text{ (PSO)} \end{cases}$$

Stan przemieszczeń w pobliżu wierzchołka szczeliny:

$$u_1 = \frac{K_{II}}{2G} \sqrt{\frac{r}{2\pi}} \sin \frac{\theta}{2} (2 + \kappa + \cos \theta), \quad u_2 = \frac{K_{II}}{2G} \sqrt{\frac{r}{2\pi}} \cos \frac{\theta}{2} (2 - \kappa - \cos \theta)$$

Współczynnik intensywności naprężeń $K_{II} = \tau \sqrt{\pi l}$.

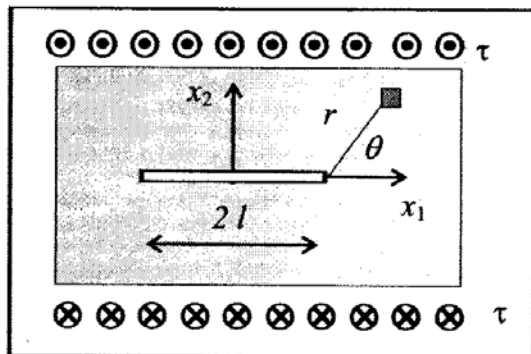
rozwiązanie Westergaarda, typ III - szczelina o długości $2l$ w nieskończonym paśmie ścinanym poprzecznie naprężeniem τ - **obciążenie typu III** (ściananie poprzeczne)

Niezerowe naprężenia:

$$\begin{cases} \sigma_{13} = -\frac{K_{III}}{\sqrt{2\pi r}} \sin \frac{\theta}{2} \\ \sigma_{23} = \frac{K_{III}}{\sqrt{2\pi r}} \cos \frac{\theta}{2} \end{cases}$$

Przemieszczenie: $u_3 = \frac{2K_{III}}{G} \sqrt{\frac{r}{2\pi}} \sin \frac{\theta}{2}$,

gdzie współczynnik intensywności naprężeń $K_{III} = \tau \sqrt{\pi l}$.



Zadanie: W próbce ze szczeliną pod obciążeniem typu III przyjęto funkcję przemieszczeń $u_3 = w(r, \theta) = r^{\lambda} f(\theta)$. Podać naprężenia i odkształcenia.

Funkcje przemieszczeń, odkształceń i naprężeń w problemie szczeliny z obciążeniem typu III:

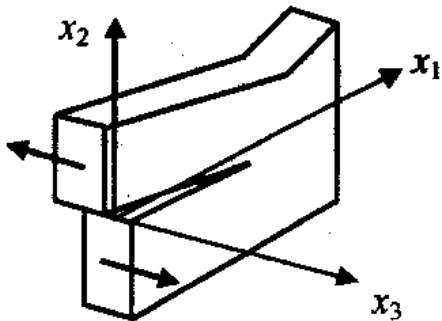
$$u_1 = u_2 = 0, \quad u_3 = w \equiv w(x_1, x_2).$$

Składowe tensora małych odkształceń:

$$\varepsilon_{11} = \varepsilon_{22} = \varepsilon_{33} = \varepsilon_{12} = 0, \quad \varepsilon_{13} = \frac{1}{2} \frac{\partial w}{\partial x_1}, \quad \varepsilon_{23} = \frac{1}{2} \frac{\partial w}{\partial x_2}$$

Składowe tensora naprężeń Cauchy:

$$\sigma_{11} = \sigma_{22} = \sigma_{33} = \sigma_{12} = 0, \quad \sigma_{13} = G \frac{\partial w}{\partial x_1}, \quad \sigma_{23} = G \frac{\partial w}{\partial x_2}$$



W układzie równań równowagi (brak sił objętościowych) dwa pierwsze: $\sigma_{11,1} + \sigma_{12,2} + \sigma_{13,3} = 0$ oraz $\sigma_{12,1} + \sigma_{22,2} + \sigma_{23,3} = 0$ spełnione są tożsamościowo.

Trzecie równanie: $\sigma_{13,1} + \sigma_{23,2} + \sigma_{33,3} = 0$ daje w rezultacie zapis

$$\frac{\partial^2 w}{\partial x_1^2} + \frac{\partial^2 w}{\partial x_2^2} = \nabla^2 w = 0 - \text{funkcja } w \text{ jest } \mathbf{harmoniczna}.$$

Zerowy laplasjan przewidywanej funkcji $w = r^\lambda f(\theta)$ - zapis

$$\frac{\partial^2 f(\theta)}{\partial \theta^2} + \lambda^2 f(\theta) = 0. \text{ Rozwiązanie: } f(\theta) = A \sin \lambda \theta + B \cos \lambda \theta.$$

Ze względu na antysymetrię oddziaływania i odpowiedzi zachodzi $f(0) = 0$, stąd $B = 0$, czyli $f(\theta) = A \sin \lambda \theta$ (składnik antysymetryczny).

Warunek brzegowy wzdłuż powierzchni szczeliny: $\tau_{\theta z} \Big|_{\theta=\pm\pi} = 0$.

Z zapisu $\tau_{z\theta} = \frac{G}{r} \frac{\partial w}{\partial \theta}$ wynika $\cos \lambda \pi = 0$, stąd $\lambda = \pm \frac{n}{2}$, $n = 1, 3, 5, \dots$

Ujemne wartości n prowadzą do nieskończenie dużych przemieszczeń w wierzchołku szczeliny, przy $r \rightarrow 0$. Przyjmując $n = 1$ funkcja przemieszczeń przyjmuje postać $w(r, \theta) = Ar^{1/2} \sin \frac{\theta}{2}$.

Naprężenia we współrzędnych (r, θ) : $\tau_{rz} = G \frac{\partial w}{\partial r}$, $\tau_{\theta z} = \frac{G}{r} \frac{\partial w}{\partial \theta}$,

po podstawieniu: $\tau_{rz} = \frac{G}{2} Ar^{-1/2} \sin \frac{\theta}{2}$, $\tau_{\theta z} = \frac{G}{2} Ar^{-1/2} \cos \frac{\theta}{2}$.

Wprowadzając $A = \frac{K_{III}}{G} \sqrt{\frac{2}{\pi}}$ naprężenia i przemieszczenie:

$$w = \frac{2K_{III}}{G} \sqrt{\frac{r}{2\pi}} \sin \frac{\theta}{2}, \quad \tau_{rz} = \frac{K_{III}}{\sqrt{2\pi r}} \sin \frac{\theta}{2}, \quad \tau_{\theta z} = \frac{K_{III}}{\sqrt{2\pi r}} \cos \frac{\theta}{2}.$$

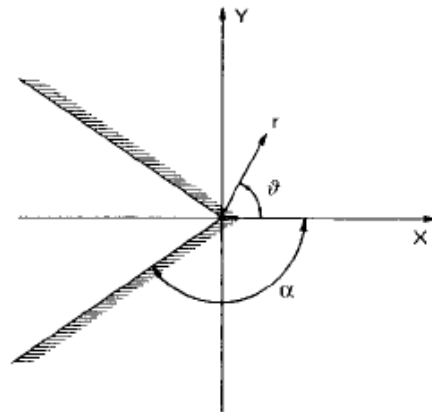
Są to funkcje w pełni zgodne z przedstawionym rozwiązaniem zagadnienia szczeliny z obciążeniem typu III.

Metoda Williamsa (1952)

– rozwinięcie funkcji naprężeń Airy i naprężeń w szeregi potęgowe. Model: płaszczyzna z kątowym wycięciem równym 2α , układ biegunowy (r, ϑ) o początku w wierzchołku wycięcia.

Funkcja Airy:
$$F(r, \vartheta) = \sum_{n=1}^{\infty} r^{\lambda_n+1} f_n(\vartheta).$$

Rozdzielenie czynników: potęga, z wykładnikiem równym $\lambda_n + 1$ (osobliwość rozkładu naprężeń w sąsiedztwie wierzchołka) zależy od warunków brzegowych swobodnej krawędzi, funkcja $f_n(\vartheta)$ zależy od obciążenia położonego z dala od wycięcia („w nieskończoności” – far-field stress).



Naprężenia, otrzymane w układzie biegunowym z funkcji Airy:

$$\left\{ \begin{array}{l} \sigma_{rr} = \sum_{n=1}^{\infty} r^{\lambda_n-1} [f_n''(\varrho) + (\lambda_n + 1)f_n(\varrho)] \\ \sigma_{\varrho\varrho} = \sum_{n=1}^{\infty} r^{\lambda_n-1} [\lambda_n(\lambda_n + 1)f_n(\varrho)] \\ \sigma_{r\varrho} = -\sum_{n=1}^{\infty} r^{\lambda_n-1} \lambda_n f_n'(\varrho) \end{array} \right.$$

Sprawdzenie spełnienia
równania biharmonicznego:

$$\nabla^2 F = \frac{\partial^2 F}{\partial r^2} + \frac{1}{r} \frac{\partial F}{\partial r} + \frac{1}{r^2} \frac{\partial^2 F}{\partial \varrho^2} = \sigma_{rr} + \sigma_{\varrho\varrho} = \sum_{n=1}^{\infty} r^{\lambda_n-1} [f_n''(\varrho) + (\lambda_n + 1)^2 f_n(\varrho)]$$

$$\frac{\partial^2}{\partial r^2} \nabla^2 F = \sum_{n=1}^{\infty} r^{\lambda_n-3} (\lambda_n - 1)(\lambda_n - 2) [f_n'' + (\lambda_n + 1)^2 f_n]$$

obliczenia: $\frac{1}{r} \frac{\partial}{\partial r} \nabla^2 F = \sum_{n=1}^{\infty} r^{\lambda_n-3} (\lambda_n - 1) [f_n'' + (\lambda_n + 1)^2 f_n]$

$$\frac{1}{r^2} \frac{\partial^2}{\partial \varrho^2} \nabla^2 F = \sum_{n=1}^{\infty} r^{\lambda_n-3} [f_n^{IV} + (\lambda_n + 1)^2 f_n'']$$

$$\nabla^4 F = \left(\frac{\partial^2 F}{\partial r^2} + \frac{1}{r} \frac{\partial F}{\partial r} + \frac{1}{r^2} \frac{\partial^2 F}{\partial \varrho^2} \right) \nabla^2 F =$$

Równanie
biharmoniczne:

$$: \sum_{n=1}^{\infty} r^{\lambda_n - 3} \left\{ (\lambda_n + 1)^2 \left[f_n'' + (\lambda_n + 1)^2 f_n \right] + \left[f_n^{IV} + (\lambda_n + 1)^2 f_n'' \right] \right\} = 0$$

Spełnienie równania - zerowanie się funkcji, po przekształceniach:

$f_n^{IV} + 2(\lambda_n^2 + 1)f_n'' + (\lambda_n^2 - 1)^2 f_n = 0$, rozwiązaniem ogólnym jest

$$f_n(\varrho) = A_n \cos(\lambda_n + 1)\varrho + B_n \cos(\lambda_n - 1)\varrho + C_n \sin(\lambda_n + 1)\varrho + D_n \sin(\lambda_n - 1)\varrho$$

Dwa pierwsze wyrazy, ze stałymi A_n i B_n tworzą rozwiązanie symetryczne (typ I szczeliny), kolejne, ze stałymi C_n i D_n – rozwiązanie antysymetryczne (typ II szczeliny).

Warunki brzegowe na krawędziach: naprężenia normalne obwodowe oraz styczne zerowe: $\sigma_{\varrho\varrho}|_{\varrho=\pm\alpha} = 0$, $\sigma_{r\varrho}|_{\varrho=\pm\alpha} = 0$, przy dowolnym $r > 0$, tym samym zachodzi $f_n(\pm\alpha) = 0$, $f_n'(\pm\alpha) = 0$.

Podstawienie podanego rozwiązania ogólnego, z rozdzielaniem rozwiązań: symetrycznego i antysymetrycznego tworzy układ równań jednorodnych:

$$\text{Typ I: } \begin{cases} A_n \cos(\lambda_n + 1)\alpha + B_n \cos(\lambda_n - 1)\alpha = 0 \\ A_n (\lambda_n + 1)\sin(\lambda_n + 1)\alpha + B_n (\lambda_n - 1)\sin(\lambda_n - 1)\alpha = 0 \end{cases}$$

$$\text{Typ II: } \begin{cases} C_n \sin(\lambda_n + 1)\alpha + D_n \sin(\lambda_n - 1)\alpha = 0 \\ C_n (\lambda_n + 1)\cos(\lambda_n + 1)\alpha + D_n (\lambda_n - 1)\cos(\lambda_n - 1)\alpha = 0 \end{cases}$$

Rozwiązania niezerowe układów równań jednorodnych mogą być jedynie zależne od stałych współczynników, w przypadku pierwszym stałe A i B zależne od współczynnika K_I , w przypadku drugim stałe C i D zależne od współczynnika K_{II} . Warunkiem istnienia niezerowych rozwiązań jest zerowanie się wyznaczników

$$\begin{aligned} (\lambda_n - 1)\sin(\lambda_n - 1)\alpha \cos(\lambda_n + 1)\alpha - (\lambda_n + 1)\cos(\lambda_n - 1)\alpha \sin(\lambda_n + 1)\alpha &= 0 \\ (\lambda_n + 1)\sin(\lambda_n - 1)\alpha \cos(\lambda_n + 1)\alpha - (\lambda_n - 1)\cos(\lambda_n - 1)\alpha \sin(\lambda_n + 1)\alpha &= 0 \end{aligned}$$

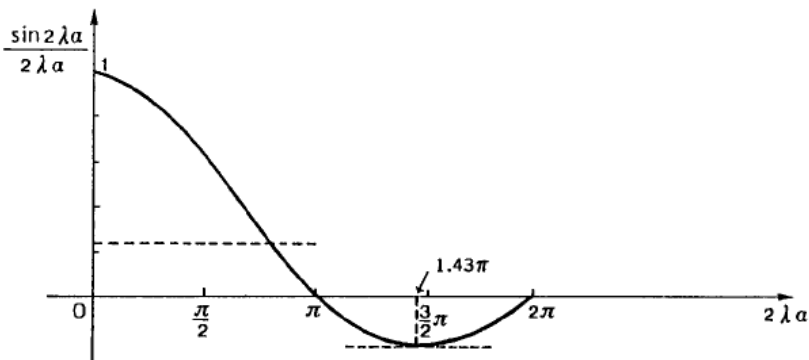
Transformacje trygonometryczne \rightarrow przekształcenie odpowiednio do form $\sin 2\lambda_n\alpha + \lambda_n \sin 2\alpha = 0$ oraz $\sin 2\lambda_n\alpha - \lambda_n \sin 2\alpha = 0$,

lub jednolicie:
$$\frac{\sin 2\lambda_n\alpha}{2\lambda_n\alpha} = \pm \frac{\sin 2\alpha}{2\alpha}$$

Jest to problem własny, rozwiązaniem są wartości własne λ odpowiednio problemów: symetrycznego λ_I i antysymetrycznego λ_{II} .

Badanie przebiegu funkcji $y = \frac{\sin 2\lambda\alpha}{2\lambda\alpha}$ prowadzi do określenia

wartości λ_I i λ_{II} w odpowiednich przedziałach.



Wpływ skończonych wymiarów i efektu skali

Sformułowania wybranych problemów mechaniki pękania – naprężenia w otoczeniu szczeliny, obciążenia przyłożone w nieskończonej odległości.

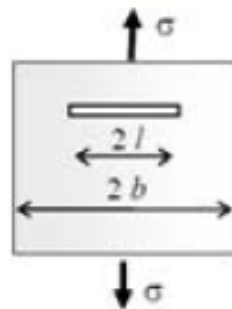
Układy o wymiarach skończonych – rozkłady naprężeń w otoczeniu szczelin niemożliwe w postaci zamkniętej. Przypadki szczególne – rozwiązania w postaci tabel, wykresów lub funkcji parametru – proporcji wymiarów.

Poniżej – wartości współczynników K_I w wybranych układach szczelin i obciążenia, z dwóch podanych wartości jedna dotyczy próbek normowych

1) Szczelina centralna w paśmie rozciągającym

$$K_I = \sigma \sqrt{\pi l} \sqrt{\sec \frac{\pi l}{2b}} = \sigma \sqrt{\pi l} \left(\cos \frac{\pi l}{2b} \right)^{-0.5}$$

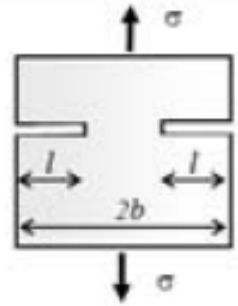
$$K_I = \sigma \sqrt{\pi l} \left[1 + 0.128 \frac{l}{b} - 0.288 \left(\frac{l}{b} \right)^2 + 1.523 \left(\frac{l}{b} \right)^3 \right]$$



2) Dwie szczeliny krawędziowe w paśmie rozciągającym

$K_I = 1.12\sigma\sqrt{\pi l}$ przy małych ilorazach l/b

$$K_I = \sigma\sqrt{\pi l} \left[1.12 + 0.2\frac{l}{b} - 1.2\left(\frac{l}{b}\right)^2 + 1.93\left(\frac{l}{b}\right)^3 \right]$$



3) Belka trójpunktowo zginana, szczelina krawędziowa

$$K_I = \frac{PS}{BW^{1.5}} \left[2.9\left(\frac{l}{W}\right)^{0.5} - 4.6\left(\frac{l}{W}\right)^{1.5} + 21.8\left(\frac{l}{W}\right)^{2.5} - 37.6\left(\frac{l}{W}\right)^{3.5} + 38.7\left(\frac{l}{W}\right)^{4.5} \right]$$

